

Numerické modelování toku neutronů v šestihranné síti

*Tomáš Berka,
Marek Brandner, Milan Hanuš, Roman Kužel, Aleš Matas*

PANM 14, Dolní Maxov, 1. – 6. 6. 2008

Obsah

- 1 Matematický model
- 2 CMFD-nodální metody
- 3 Metoda s konformním zobrazením
- 4 Experimenty
- 5 Homogenizace
- 6 Budoucí cíle

Matematický model

- ▶ Dvougrupový neutronový difuzní model

$$\begin{aligned}\nabla \cdot \mathbf{j}^1(\mathbf{r}) + \Sigma_r^1(\mathbf{r})\phi^1(\mathbf{r}) &= \frac{1}{k_{\text{eff}}} [\nu\Sigma_f^1(\mathbf{r})\phi^1(\mathbf{r}) + \nu\Sigma_f^2(\mathbf{r})\phi^2(\mathbf{r})], \\ \nabla \cdot \mathbf{j}^2(\mathbf{r}) + \Sigma_r^2(\mathbf{r})\phi^2(\mathbf{r}) &= \Sigma_s^{1 \rightarrow 2}(\mathbf{r})\phi^1(\mathbf{r}).\end{aligned}\tag{1}$$

- ▶ Na hranici jaderného reaktoru uvažujeme *okrajové podmínky typu albedo*

$$\gamma^1\phi^1(\mathbf{r}) - \mathbf{j}^1(\mathbf{r}) \cdot \mathbf{n}(\mathbf{r}) = 0, \quad \gamma^2\phi^2(\mathbf{r}) - \mathbf{j}^2(\mathbf{r}) \cdot \mathbf{n}(\mathbf{r}) = 0.\tag{2}$$

- ▶ Připojujeme konstitutivní vztah: *Fickův zákon*

$$\mathbf{j}^g(\mathbf{r}) = -D^g(\mathbf{r})\nabla\phi^g(\mathbf{r}).\tag{3}$$

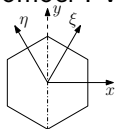
- ▶ Neznámé veličiny: $\phi^g, k_{\text{eff}} \Rightarrow$ *úloha na vlastní čísla.*

FVM na hrubé síti (CMFD)

- ▶ Za kontrolní objemy (*nody*) volíme přímo palivové kazety.
- ▶ Zavedeme *průměrný zdrojový člen* a *příčný únikový člen*

$$\bar{s}_i = \sum_{\substack{g'=1 \\ g' \neq g}}^2 \Sigma_{i,s}^{g' \rightarrow g} \bar{\phi}_i^{g'} + \frac{\chi^g}{k_{\text{eff}}} \sum_{g'=1}^2 \nu \Sigma_{i,f}^{g'} \bar{\phi}_i^{g'}, \quad \bar{l}_{i,\theta}^g = \frac{\bar{J}_{i,\theta+}^g - \bar{J}_{i,\theta-}^g}{h}. \quad (4)$$

- ▶ Pomocí FVM dostáváme soustavu diskrétních rovnic



$$\frac{2}{3} \sum_{\theta \in \{x, \xi, \eta\}} \bar{l}_{i,\theta} + \Sigma_{i,r}^g \bar{\phi}_i^g = \bar{s}_i \quad \text{nebo} \quad \mathbf{M} \bar{\Phi} = \frac{1}{k_{\text{eff}}} \mathbf{S}_f \bar{\Phi}. \quad (5)$$

- ▶ Vhodnými metodami stanovíme $\bar{\Phi}$, k_{eff} .
- ▶ Problém: Síť je příliš hrubá \Rightarrow velké diskretizační chyby.

CMFD-nodální přístup

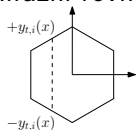
- ▶ První krok: CMFD – nepřesné.
- ▶ Druhý krok: zpřesnění hraničních proudů z CMFD pomocí *nodální metody*

$$C_{\vec{j}_{i,\theta+}} = -D_{i,\theta+}^g \frac{\bar{\bar{\phi}}_{i+\theta}^g - \bar{\bar{\phi}}_i^g}{h} + C_{D_{i,\theta+}} (\bar{\bar{\phi}}_i^g + \bar{\bar{\phi}}_{i+\theta}^g). \quad (6)$$

- ▶ Korekcí iterační matice CMFD dostáváme

$$(\mathbf{M} + \mathbf{C}\mathbf{D})\bar{\bar{\Phi}} = \frac{1}{k_{\text{eff}}} \mathbf{S}_f \bar{\bar{\Phi}}. \quad (7)$$

- ▶ Nodální metoda je založena na *příčné integraci* neutronové difuzní rovnice



$$\int_{-y_{t,i}(x)}^{+y_{t,i}(x)} (\cdot) dy, \quad \pm y_{t,i}(x) = \pm \frac{1}{\sqrt{3}}(h - |x|).$$

Semianalytické řešení

- ▶ Dostáváme 1D problém

$$-D_i^g \frac{d^2}{dx^2} \tilde{\phi}_i^g(x) + \Sigma_{i,r}^g \tilde{\phi}_i^g(x) = \tilde{\zeta}_i^g(x) - I_i^g(x). \quad (8)$$

- ▶ Řešíme ODE 2. řádu s konstantními koeficienty \Rightarrow tvar *homogenního řešení* známe.
- ▶ Pravou stranu aproximujeme *polynomem 2. stupně*.
- ▶ *Partikulární řešení* hledáme semianalyticky v prostoru polynomů stejného stupně jako jsme volili pravou stranu.
- ▶ *Celkové řešení* má tvar

$$\tilde{\phi}_i^g(x) = \underbrace{a_0 p_0(x) + a_1 p_1(x) + a_2 p_2(x)}_{\text{partikulární}} + \underbrace{a_3 \sinh(kx) + a_4 \cosh(kx)}_{\text{homogenní}}. \quad (9)$$

Semianalytické řešení (2)

- ▶ Neznámé koeficienty celkového řešení hledáme ve smyslu vážených reziduí s vahou $y_{t,i}$.
- ▶ Požadujeme splnění nulté, první a druhé momentové podmínky.
- ▶ Požadujeme zachování průměrného toku z CMFD.
- ▶ Využijeme spojitosti toku a proudu na rozhraní dvou nodů.
- ▶ Na hranici reaktoru aplikujeme okrajové podmínky.

Princip

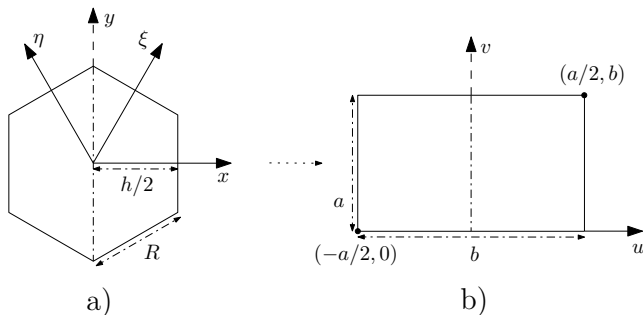
- ▶ Efektivní druh CMFD-nodální metody vyvinutý pro *geometrii šestiúhelníku*.
- ▶ Využívá *Schwarzovu-Christoffelovu transformaci* konformně zobrazující komplexní polorovinu na vnitřek polygonu.
- ▶ Transformací neutronové rovnice potlačíme problém s hroty profilové funkce šestiúhelníku.
- ▶ Po transformaci dostaneme pro jednu grupu 1D problém

$$-D\Delta\phi(u, v) + \Sigma_r g^2(u, v)\phi(u, v) = \frac{1}{k_{\text{eff}}}\nu\Sigma_f g^2(u, v)\phi(u, v). \quad (10)$$

- ▶ V rovnici přibyla (transformací Laplaceova operátoru) *škálovací funkce*

$$g(u, v) = \left| \frac{dz}{dw} \right|, \quad \begin{aligned} z &= x + iy, \\ w &= u + iv. \end{aligned}$$

Princip (2)



Obrázek: Šestiúhelník zobrazený na obdélník.

CMFD-nodální přístup

- ▶ Příčnou integrací transformované rovnice dostáváme

$$-D \frac{d^2 \tilde{\phi}(u)}{du^2} + \Sigma_r \tilde{g}^2(u) \tilde{\phi}(u) = \frac{1}{k_{\text{eff}}} \nu \Sigma_f \tilde{g}^2(u) \tilde{\phi}(u) - l_v(u), \quad (11)$$

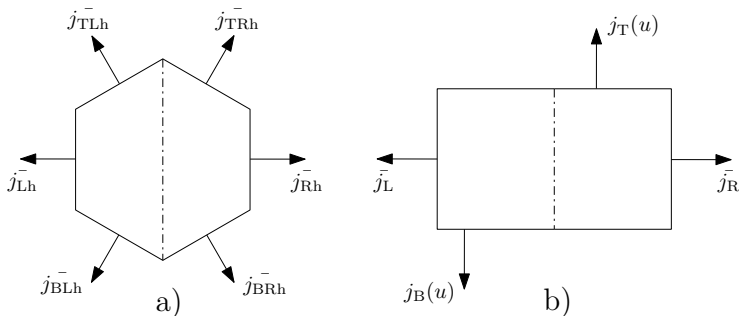
- ▶ Zavádíme průměry

$$\tilde{\phi}(u) = \frac{1}{b} \int_0^b \phi(u, v) dv, \quad \tilde{g}^2(u) = \frac{\frac{1}{b} \int_0^b g^2(u, v) \phi(u, v) dv}{\tilde{\phi}(u)}. \quad (12)$$

- ▶ $\tilde{g}^2(u)$ aproximujeme následujícím způsobem

$$\tilde{g}^2(u) \approx \frac{1}{b} \int_0^b g^2(u, v) dv. \quad (13)$$

Transformované veličiny



Obrázek: Proudý na šestiúhelníku a na obdélníku.

Transformované veličiny (2)

- ▶ Příčný únikový člen na obdélníku

$$l_v(u) = \frac{1}{b} (j_T(u) - j_B(u)). \quad (14)$$

- ▶ Proudové obsahují první derivaci, po transformaci

$$j_T(u) = j_{Th}(x)g(u, b) = j_{Th}(x)g(u, 0), \quad (15)$$

$$j_B(u) = j_{Bh}(x)g(u, 0). \quad (16)$$

- ▶ Průměrné veličiny se transformují

$$\bar{j}_L = \frac{R}{b} \bar{j}_{Lh}, \quad \bar{j}_R = \frac{R}{b} \bar{j}_{Rh}, \quad (17)$$

$$\bar{\phi} = \frac{3\sqrt{3}R^2}{2} \frac{1}{ab} \bar{\phi}_h. \quad (18)$$

Příčný únikový člen

- ▶ Uvažujeme dva typy aproximace příčného únikového členu na obdélníku
 - *Konstantní na půl-nodech*

$$l_{vL}(u) = \frac{1}{b} g(u, 0) (j_{TLh}^- - j_{BLh}^-), \quad (19)$$

$$l_{vR}(u) = \frac{1}{b} g(u, 0) (j_{TRh}^- - j_{BRh}^-). \quad (20)$$

- *Lineární na hraničních půl-nodech a konstantní na vnitřních půl-nodech*

Semianalytické řešení

- ▶ Celkové řešení má tvar

$$\tilde{\phi}(u) = \underbrace{a_0 p_0(u) + a_1 p_1(u) + a_2 p_2(u)}_{\text{partikulární}} + \underbrace{a_3 \sinh(ku) + a_4 \cosh(ku)}_{\text{homogenní}}. \quad (21)$$

- ▶ Průměrné proudy na hranici ve směru u dostaneme z

$$\bar{j}_L = \tilde{j}(u = -a/2) = -D \left. \frac{d\tilde{\phi}(u)}{du} \right|_{u=-a/2}, \quad (22)$$

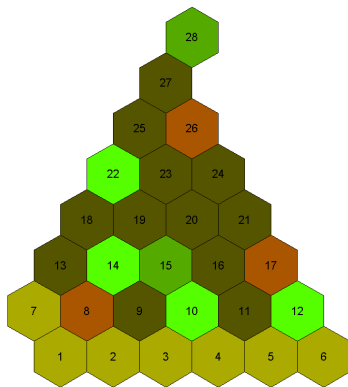
$$\bar{j}_R = \tilde{j}(u = +a/2) = -D \left. \frac{d\tilde{\phi}(u)}{du} \right|_{u=+a/2}. \quad (23)$$

- ▶ Transformací na šestiúhelník dostaneme

$$j_{Lh}^- = \frac{b}{R} \bar{j}_L, \quad j_{Rh}^- = \frac{b}{R} \bar{j}_R. \quad (24)$$

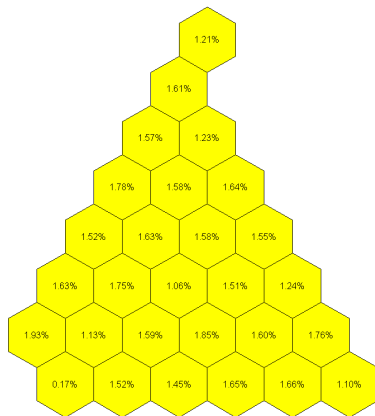
- ▶ Novými hodnotami proudů zpřesníme iterační matici CMFD.

Úvod



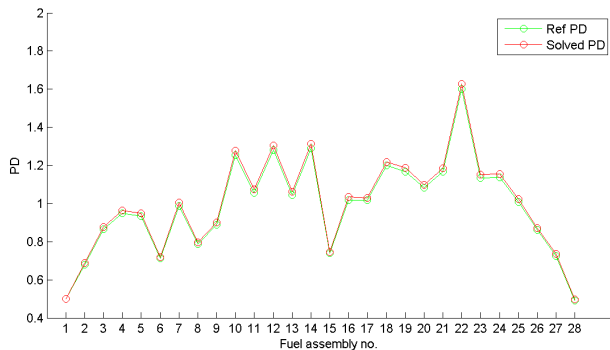
Obrázek: Konfigurace jádra.

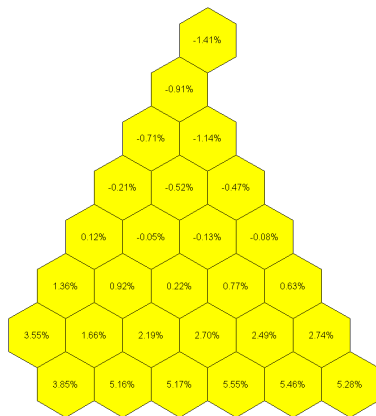
- ▶ Různé materiálové vlastnosti kazet.
- ▶ Šestinová symetrie jádra.
- ▶ Srovnáme řešení z *metody s konf. zobr.* (solver Romana Kužela) s řešením *FVM na jemné síti* (solver Milana Hanuše).

Albedo $\gamma = 0.125$ (mapa)

- ▶ $k_{\text{eff}} = 1.01447$
- ▶ chyba $k_{\text{eff}} = -7.89$ pcm
- ▶ avg. chyba PD = 1.48%
- ▶ max. chyba PD = 1.93%
(kazeta č. 7)

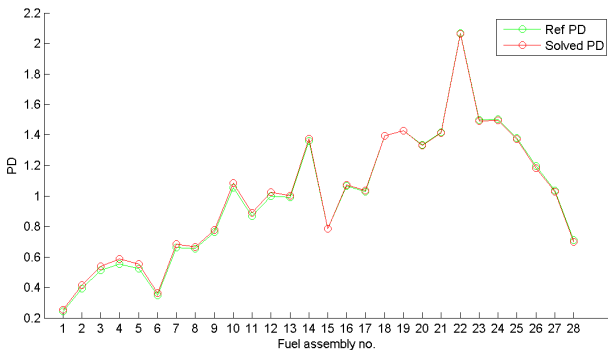
Albedo $\gamma = 0.125$ (graf)



Albedo $\gamma = 0.5$ (mapa)

- ▶ $k_{\text{eff}} = 1.00694$
- ▶ chyba $k_{\text{eff}} = -45.35$ pcm
- ▶ avg. chyba PD = 1.98%
- ▶ max. chyba PD = 5.55%
(kazeta č. 4)

Albedo $\gamma = 0.5$ (graf)



Princip

- ▶ Nedílná součást nodálních metod pro určení po nodech konstantních koeficientů neutronového difuzního modelu.
- ▶ Vycházíme z integrální formulace

$$\sum_{k=1}^6 \int_{\Gamma_{i,k}} \mathbf{j}(\mathbf{r}) \cdot \mathbf{n}_{i,k} dS + \int_{\mathcal{V}_i} \Sigma_r(\mathbf{r}) \phi(\mathbf{r}) d\mathbf{r} = \frac{1}{k_{\text{eff}}} \nu \int_{\mathcal{V}_i} \Sigma_f(\mathbf{r}) \phi(\mathbf{r}) d\mathbf{r} \quad (25)$$

- ▶ Koeficienty určíme z požadavku zachování veličin

$$\int_{\mathcal{V}_i} \hat{\Sigma}_{(\cdot)}^i \hat{\phi}(x, y) d\mathbf{r} = \int_{\mathcal{V}_i} \Sigma_{(\cdot)}(x, y) \phi(x, y) d\mathbf{r} \Rightarrow \hat{\Sigma}_{(\cdot)}^i = \frac{\int_{\mathcal{V}_i} \Sigma_{(\cdot)}(x, y) \phi(x, y) d\mathbf{r}}{\int_{\mathcal{V}_i} \hat{\phi}(x, y) d\mathbf{r}},$$

$$\int_{\Gamma_{i,k}} \hat{\mathbf{j}}(x, y) \cdot \mathbf{n}_{i,k} dS = \int_{\Gamma_{i,k}} \mathbf{j}(x, y) \cdot \mathbf{n}_{i,k} dS \Rightarrow \hat{D}^i = \frac{\int_{\Gamma_{i,k}} \mathbf{j}(x, y) \cdot \mathbf{n}_{i,k} dS}{-\int_{\Gamma_{i,k}} \nabla \hat{\phi}(\mathbf{r}) \cdot \mathbf{n}_{i,k} dS}.$$

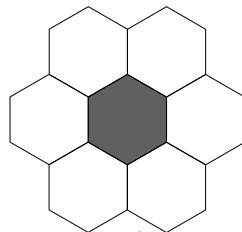
- ▶ Dále požadujeme zachování kritického čísla reaktoru $k_{\text{eff}} \Rightarrow$ za předchozích předpokladů dostaneme přímo z bilančního vztahu.

Princip (2)

- ▶ *Problém:* Neznáme heterogenní řešení $\phi(x, y)$.
- ▶ Aproximujeme $\phi(x, y)$ řešením *1-nodálních problémů* s nulovým proudem na hranici pro typové kazety.
- ▶ Pro větší přesnost můžeme také uvažovat *7-nodální problémy* pro celý reaktor (nemusíme uvažovat konst. BC).



a)



b)

Obrázek: a) 1-nodální problém, b) 7-nodální problém.

Algorimus

- 1 Stanovíme homogenizované parametry z 1-nodálních problémů pro typové kazety nebo 7-nodálních problémů pro celý reaktor.
- 2 Stanovíme homogenní řešení problému pro celý reaktor.
- 3 Stanovíme homogenizované parametry z 1-nodálních problémů nebo 7-nodálních problémů pro celý reaktor. Pro tyto problémy použijeme novou okrajovou podmínku danou hraničními proudy stanovenými v kroku 2 nebo 4.
- 4 Stanovíme homogenní řešení problému pro celý reaktor.
- 5 Ověříme, jestli je homogenní řešení dokonvergované. Pokud ne, pokračujeme krokem 3.

Flux Weighted Constants (FWC)

- Uvažujeme dvě aproximace

$$\int_{V_i} \hat{\phi}(x, y) \, d\mathbf{r} \approx \int_{V_i} \phi(x, y) \, d\mathbf{r}, \quad (26)$$

$$\frac{1}{\hat{D}^i} \approx \frac{\int_{V_i} \frac{1}{D(x, y)} \phi(x, y) \, d\mathbf{r}}{\int_{V_i} \phi(x, y) \, d\mathbf{r}}. \quad (27)$$

- *Problém:* Z fyzikálních úvah plyne, že nelze určit konstantní \hat{D}^i tak, abychom zachovali spojitost toků na hranicích $\Gamma_{i,k}$.

General Equivalence Theory (GET)

- ▶ Odstraníme problém FWC zavedením nových homogenizačních parametrů \rightarrow *faktorů nespojitosti*

$$f_i^{x+} = \frac{\int_{\Gamma_{i,x+}} \phi(x, y) dS}{\int_{\Gamma_{i,x+}} \hat{\phi}(x, y) dS}, \quad f_i^{x-} = \frac{\int_{\Gamma_{i,x-}} \phi(x, y) dS}{\int_{\Gamma_{i,x-}} \hat{\phi}(x, y) dS}. \quad (28)$$

- ▶ Uvědomíme si

$$\int_{\Gamma_{i,k}} \hat{\phi}(x, y) dS = \int_{\mathcal{V}_i} \hat{\phi}(x, y) dr = \int_{\mathcal{V}_i} \phi(x, y) dr. \quad (29)$$

- ▶ Nyní můžeme psát

$$f_i^{x+} = \frac{\int_{\Gamma_{i,x+}} \phi(x, y) dS}{\int_{\Gamma_{i,x+}} \hat{\phi}(x, y) dS} = \frac{\int_{\Gamma_{i,x+}} \phi(x, y) dS}{\int_{\mathcal{V}_i} \phi(x, y) dr}. \quad (30)$$

- ▶ Podmínku spojitosti toku nahradíme *podmínkou nespojitosti*

$$f_i^{x+} \int_{\Gamma_{i,x+}} \hat{\phi}(x, y) dS = f_{i+1}^{x-} \int_{\Gamma_{i+1,x-}} \hat{\phi}(x, y) dS. \quad (31)$$

Budoucí cíle

- ▶ Rekonstrukce průběhu $\hat{\phi}$ uvnitř kazety.
- ▶ Zahrnutí náklonů vyhoření v 2-nodálních problémech.
- ▶ Metoda s konformním zobrazením ve 3D.
- ▶ Moderní metody homogenizace.
- ▶ Posouzení jiných numerických metod (multigrid, domain decomposition).

Zdroje



Y. A. Chao and Y. A. Shatilla.

Conformal Mapping and Hexagonal Nodal Methods – II: Implementation in the ANC-H Code.

Nucl. Sci. Eng., 121: 210–225, 1995.



K. S. Smith.

Spatial Homogenization Methods for Light Water Reactor Analysis.

PhD Thesis, Nuclear Engineering, Massachusetts Institute of Technology, 1980.



M. R. Wagner.

Three-Dimensional Nodal Diffusion and Transport Theory Methods for Hexagonal-z Geometry.

Nuc. Sci. Eng., 103: 377–391, 1989.



V. G. Zimin, D. M. Baturin

Polynomial nodal method for solving neutron diffusion equations in hexagonal-z geometry.

Annals of Nuclear Energy, 29: 303–335, 2002.

Výzkum byl podporován projektem 1M0545 a výzkumným záměrem MSM4977751301.